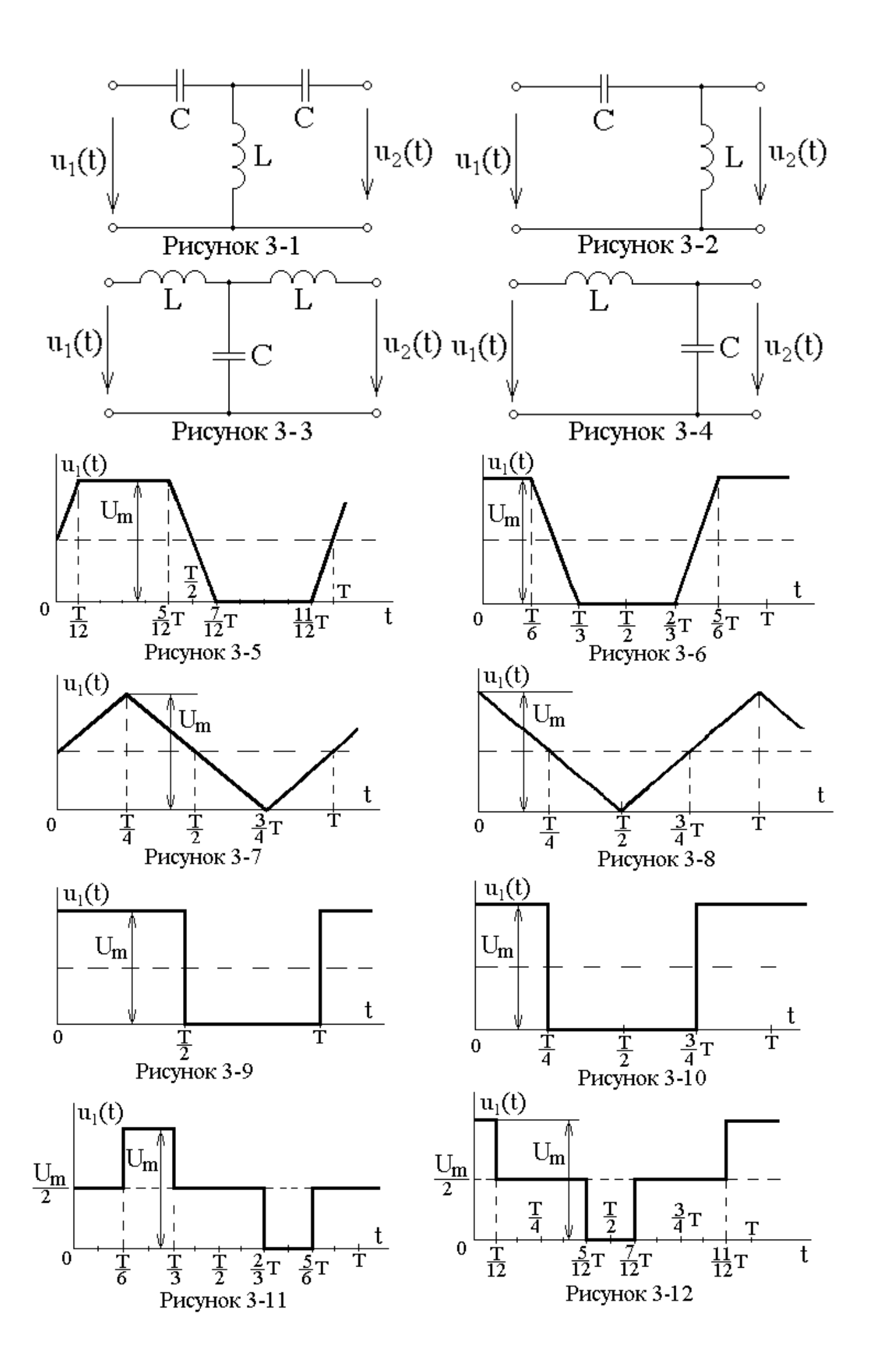
Каждая задача контрольной работы имеет 19 вариантов. Номер варианта задачи определяется суммой двух последних цифр зачетной книжки студента.

ЗАДАЧА 3

Электрической цепь (рисунок 3.1-3.4) нагружена на активное сопротивление нагрузки $R_{\rm H}$. На вход цепи воздействует периодическое напряжение $u_1(t)$, заданное в виде графика (рисунок 3.5-3.12). Значения напряжения U_m , периода изменения T, параметров элементов схемы L, C и сопротивления $R_{\rm H}$ заданы (таблица 3.1).

Требуется:

- 1. Представить входное напряжение $u_1(t)$ в виде ряда Фурье до 5-й гармоники включительно, используя табличные разложения, приведённые в учебниках (справочниках).
- 2. Обозначив сопротивления элементов схемы в общем виде как $R_{\rm H}$, $\left(j\cdot X_L^{(k)}\right)$ и $\left(-j\cdot X_C^{(k)}\right)$, вывести формулу для комплексной $\bullet^{(k)}$ амплитуды напряжения на нагрузке U_{2m} через U_{1m} амплитуду входного напряжения. Полученное выражение пригодно для каждой гармоники ряда Фурье, понимая под $X_L^{(k)}$ и $X_C^{(k)}$ сопротивления индуктивности и ёмкости для гармоники с номером k.
- 3. Используя формулу пункта 2, определить комплексную амплитуду напряжения на выходе (на нагрузке) для следующих гармоник ряда Фурье: для нулевой ($\kappa = 0$), первой ($\kappa = 1$) и третьей ($\kappa = 3$) гармоник в схемах цепи № 3-3 и № 3-4; для первой ($\kappa = 1$), третьей ($\kappa = 3$) и пятой ($\kappa = 5$) гармоник в схемах цепи №3-1 и №3-2.
- 4. Записать закон изменения напряжения на нагрузке (мгновенное значение напряжения) в виде ряда Фурье.
- 5. Построить друг под другом линейчатые спектры амплитуд входного $[u_1(t)]$ и выходного $[u_2(t)]$ напряжений.



Указания:

1) Для получения разложения кривой напряжения на входе цепи $[u_1(t)]$ прежде всего выделяют постоянную составляющую $\frac{U_m}{2}$ и мысленно проводят новую ось времени на высоте $\frac{U_m}{2}$.

Относительно новой оси времени для оставшейся части напряжения находят табличное разложение в ряд Фурье по учебникам (справочникам). Из сравнения заданного напряжения с кривой для табличного разложения необходимо учесть смещение во времени напряжения относительно кривой с табличным разложением (запаздывание или опережение).

2) Для вывода формулы для напряжения на выходе схемы $\overset{\bullet}{U}_{2m}$ (напряжения на нагрузке $R_{\rm H}$) через напряжение $\overset{\bullet}{U}_{1m}$ на входе схемы и параметры схемы электрическая цепь описывается системой уравнений по законам Кирхгофа, а затем путём подстановок и закона Ома система уравнений сводится к требуемому выражению (из записанных уравнений исключаются токи).

Таблица 3.1 – Параметры элементов электрической цепи

№ варианта	Рисунок с изо- бражением	Рисунок с графиком	L	C	Т	U_{m}	$R_{\scriptscriptstyle H}$
	схемы	$u_1(t)$	мΓн	мкФ	мс	В	Ом
0	3-4	3-10	0,5	0,4	0,137	110	28,1
1	3-2	3-10	1,7	0,9	0,40	12	32,0
2	3-3	3-9	11	4	2	100	65,7
3	3-4	3-8	0,5	0,4	0,147	50	27,6
4	3-1	3-6	0,4	0,5	0,158	50	36,5
5	3-2	3-7	0,7	0,24	0,134	45	41,4
6	3-3	3-10	5	1	0,625	25	86,5
7	3-4	3-9	5,6	2,28	1,20	50	38,6
8	3-1	3-9	2,55	1,4	0,63	20	55,5
9	3-2	3-8	4,2	1,44	0,8	40	41,4
10	3-3	3-7	21	1	1,50	80	185
11	3-4	3-10	1	1	0,314	100	25
12	3-1	3-10	21,5	9,85	5,88	30	58
13	3-2	3-5	1,3	0,316	0,23	35	50
14	3-3	3-12	2,58	1,43	0,484	75	49,8
15	3-4	3-5	3	0,9	0,525	40	45,4
16	3-1	3-11	5,4	3	1,34	15	55,2
17	3-2	3-6	6,25	12,4	3,13	40	17,5
18	3-3	3-7	6,25	10	2,5	70	31,6
19	3-3	3-6	18	5,8	3	100	69

МЕТОДИЧЕСКИЕ УКАЗАНИЯ К ВЫПОЛНЕНИЮ КОНТРОЛЬНЫХ ЗАДАНИЙ

К представленным на рецензию контрольным заданиям предъявляются следующие требования:

- 1. Контрольная работа выполняется каждая в отдельной тетради. В тетради следует оставлять поля шириной не менее 3 см для замечаний рецензента.
- 2. Основные положения принимаемых решений должны иметь достаточно подробные пояснения.
- 3. Рисунки, графики, все схемы должны быть выполнены аккуратно и в удобочитаемом масштабе. Масштабы всех графиков должны быть показаны вдоль осей равномерными цифровыми метками. В конце осевых линий графиков указывают отложенную величину измерения и единицы её измерения (графики удобно выполнять на миллиметровой бумаге).
- 4. Решение каждой задачи должно начинаться с перечерчивания схемы задания индивидуального варианта. В соответствии с вариантом должны быть выписаны все числовые данные задания.
- 5. Все электрические величины: ЭДС, напряжения, токи, сопротивления и т. д., буквенные обозначения которых указываются в ходе решения, должны быть показаны на схемах, сопровождающих решения задач.
- 6. Размерность окончательных численных результатов должна быть обязательно указана.
- 7. Вычисления должны быть сделаны с точностью до четвёртой (не менее) значащей цифры результата.
- 8. После решения задач необходимо выполнить проверку полученных результатов.
- 9. Контрольные задания должны быть датированы и подписаны студентом на последней странице решения.
- 10. Не зачтённое контрольное задание должно быть выполнено заново и прислано на повторную рецензию вместе с первоначальной работой и замечаниями рецензента. Исправление ошибок в отрецензированном тексте не допускается все исправления следует записывать после первоначального текста под заголовком "Исправление ошибок".

Контрольные задания зачитываются, если решение не содержит ошибок принципиального характера и учтены все перечисленные требования к выполнению.

Работа над контрольными заданиями позволяет оценить усвоение отдельных разделов курса «ТОЭ», выработать навыки чётко, кратко и аргументировано излагать свои мысли. Для этого целесообразно руководствоваться следующими правилами и принципами:

- 1. Начиная решение задачи, указать, какие физические законы или расчётные методы предполагается использовать при решении, привести математическую запись этих законов и методов.
- 2. Тщательно продумать и пояснить, какие буквенные или цифровые обозначения предполагается использовать в решении.
- 3. В ходе решения не допустимо изменять однажды принятые направления токов и напряжений, наименование узлов схемы, обозначения сопротивлений и других величин.
- 4. Расчёт каждой величины следует выполнить сначала в общем виде, а затем в полученную формулу подставить численные значения и получить окончательный результат с указанием единиц измерения.
- 5. Для всех элементов электрических схем следует использовать обозначения, применяемые в учебниках по ТОЭ.
- 6. Каждому этапу решения необходимо давать пояснения, указывать обоснование принятых действий.
- 7. Градуировку осей при построении графиков выполнять, начиная с нуля, равномерно через один или два сантиметра. Весь график в целом и отдельные кривые на нём должны иметь названия.

МЕТОДИЧЕСКИЕ УКАЗАНИЯ К РЕШЕНИЮ ЗАДАЧИ 3

С учётом индивидуального варианта задачи (№19 из таблицы 3.1) схема заданной электрической цепи с учётом сопротивления нагрузки R_H имеет вид, приведённый на рисунке 3.13.

Вариант задачи	Рисунок схемы	Рисунок графика u ₁ (t)	L, мГн	С, мкФ	Т,	R _H , Om	U _m , B
19	3-4	2-2	18	5,8	3	69	100

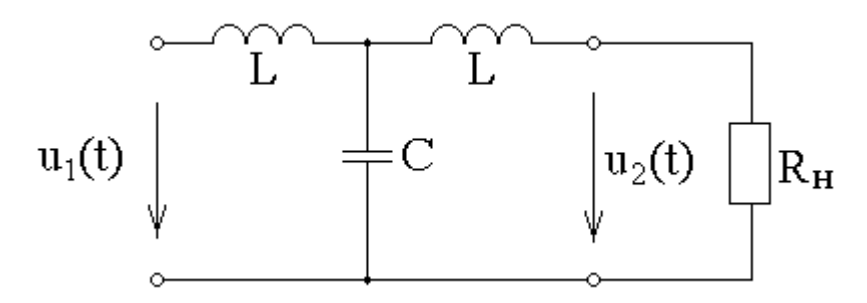


Рисунок 3.13 – Схема электрической цепи

На входных зажимах электрической цепи действует периодическое несинусоидальное напряжение, показанное на рисунке 3.14.

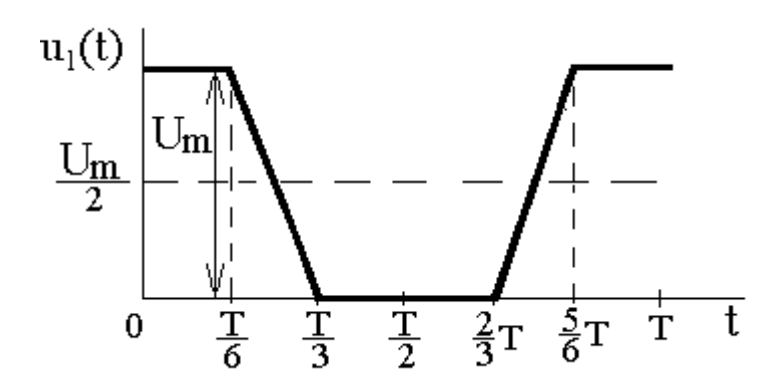


Рисунок 3.14 – Напряжение на входе электрической цепи

1. Кривую заданного входного напряжения представим в виде тригонометрического ряда Фурье. В общем случае ряд Фурье для периодической несинусоидальной функции времени заданного входного напряжения запишется:

$$u_1(t) = U_1^{(0)} + \sum_{\kappa=1}^{\infty} U_{1m}^{(k)} \cdot Sin\left(\kappa\omega t + \psi_{u1}^{(k)}\right).$$

Определение составляющих ряда Фурье входного напряжения выполним, воспользовавшись табличными разложениями, при ведёнными в учебниках по теоретическим основам электротехники.

Прежде всего, выделяем во входном напряжении $u_1(t)$ постоянную составляющую:

$$U_1^{(0)} = \frac{U_m}{2}$$
.

Проводим новую ось времени на высоте постоянной составляющей напряжения $U_1^{(0)}$. Для оставшейся части напряжения находим в учебниках и справочниках подобное табличное разложение.

Затем определяем соотношения, учитывающие соответствие табличной кривой и заданного напряжения на входе электрической цепи, а также возможное их смещение по оси времени (опережение или запаздывание).

Для заданного входного напряжения подобная табличная кривая [Π .1 — приложение 1; Π .2 — таблица 7.1] имеет вид, приведённый на рисунке 3.15.

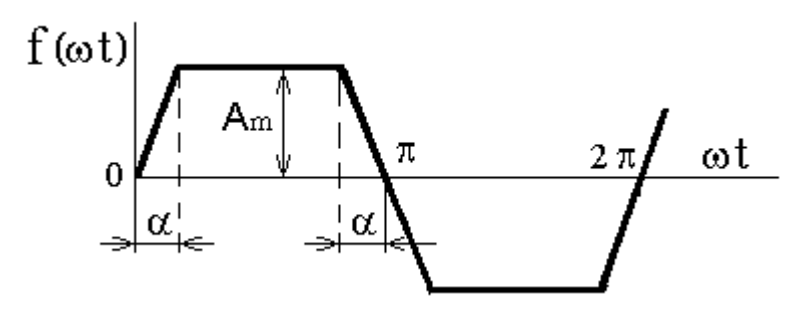


Рисунок 3.15 – Табличная кривая

Разложение в ряд Фурье табличной кривой:

$$f(\omega t) = \frac{4 A_m}{\alpha \cdot \pi} \cdot \left(\sin \alpha \cdot \sin (\omega t) + \frac{1}{9} \sin 3\alpha \cdot \sin (3\omega t) + \frac{1}{25} \sin 5\alpha \cdot \sin (5\omega t) + \dots \right).$$

Из сравнения заданного несинусоидального входного напряжения (рисунок 3.14) с табличной кривой (рисунок 3.15) имеем:

1) наличие постоянной составляющей $U_1^{(0)} = \frac{U_m}{2}$;

2)
$$A_m = \frac{U_m}{2}$$
;

3)
$$\alpha = \omega \cdot \frac{T}{12} = \frac{2\pi}{T} \cdot \frac{T}{12} = \frac{\pi}{6} \quad u\pi u \quad \alpha = 30^{\circ} \; ;$$

4) напряжение на входе цепи опережает во времени табличную кривую на время t_0 :

$$t_0 = \frac{T}{4} \left(\omega \cdot t_0 = \frac{\omega \cdot T}{4} = \frac{2\pi}{4} = \frac{\pi}{2} \right).$$

Таким образом, заданное входное напряжение с учётом постоянной составляющей имеет следующее разложение в ряд Фурье:

$$\begin{split} u_{1}(t) &= \frac{U_{m}}{2} + \frac{4\left(\frac{U_{m}}{2}\right)}{\frac{\pi}{6} \cdot \pi} \cdot \left\{ Sin\frac{\pi}{6} \cdot Sin\left[\omega(t+t_{0})\right] + \frac{1}{9}Sin\left(3 \cdot \frac{\pi}{6}\right) \cdot Sin\left[3\omega(t+t_{0})\right] + \right. \\ &\left. + \frac{1}{25}Sin\left(5 \cdot \frac{\pi}{6}\right) \cdot Sin\left[5\omega(t+t_{0})\right] + \dots \right\} = \\ &= \frac{U_{m}}{2} + \frac{12U_{m}}{\pi^{2}} \cdot \left[\frac{1}{2}Sin\left(\omega t + \frac{\pi}{2}\right) + \frac{1}{9}Sin\left(3\omega t + \frac{3\pi}{2}\right) + \frac{1}{50}Sin\left(5\omega t + \frac{5\pi}{2}\right) + \dots \right]. \end{split}$$

С учётом заданных численных значений варианта задачи получаем следующий закон изменения напряжения на входе цепи:

$$u_1(t) = 50 + 60,793 \cdot \sin\left(\omega \ t + 90^{\circ}\right) + 13,510 \cdot \sin\left(3\omega \ t + 270^{\circ}\right) +$$

$$+ 2,432 \cdot \sin\left(5\omega \ t + 90^{\circ}\right) + \dots = U_1^{(0)} + u_1^{(1)}(t) + u_1^{(3)}(t) + u_1^{(5)}(t) + \dots \ (B).$$

График входного напряжения как сумма четырёх первых гармоник разложения имеет вид, представленный на рисунке 3.16.

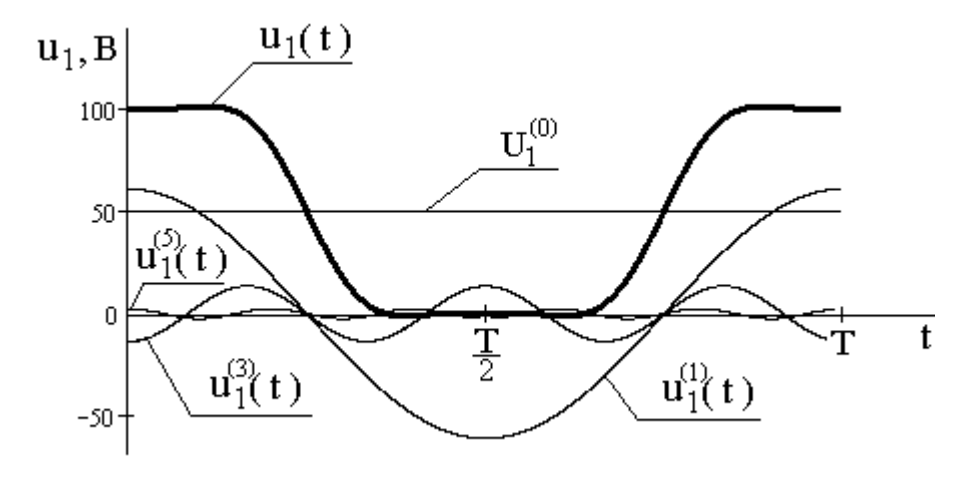


Рисунок 3.16 – График входного напряжения как сумма гармоник

2. Обозначим сопротивления элементов схемы в общем виде как $R_{\rm H}$, $\left(jX_L^{(k)}\right)$, $\left(-jX_C^{(k)}\right)$ и получим формулу для комплексной амплитуды напряжения на нагрузке U_{2m} через амплитуду входного напряжения U_{1m} . Полученное выражение пригодно для каждой гармоники, понимая под $X_L^{(k)}$ и $X_C^{(k)}$ сопротивления индуктивности и ёмкости для гармоники с номером k.

Расчётная схема для произвольной гармоники "к" в комплексной форме имеет вид, представленный на рисунке 3.17.

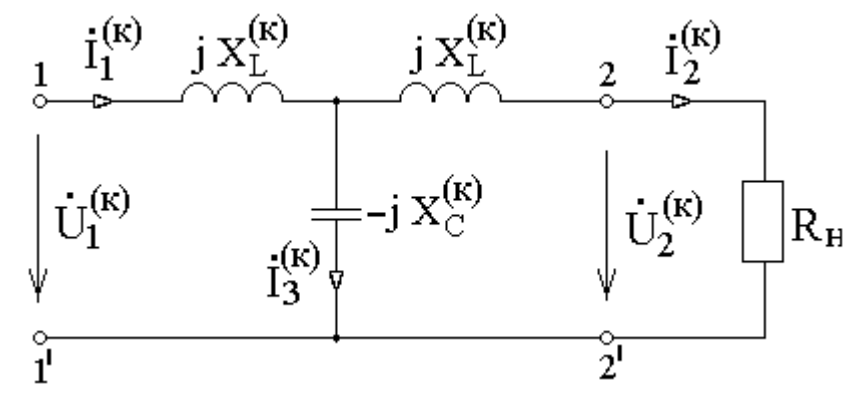


Рисунок 3.17 – Расчётная схема для гармоники "к"

По законам Кирхгофа и Ома в комплексной форме для действующих значений электрическая цепь опишется уравнениями:

$$0 = -\left(-j X_C^{(k)}\right) \cdot I_3 + \left(R_H + j X_L^{(k)}\right) \cdot I_2 ; \qquad (2)$$

$$\begin{cases}
\bullet^{(k)} & \bullet^{(k)} & \bullet^{(k)} \\
I_1 & = I_2 + I_3
\end{cases};$$
(3)

Выразим из уравнения (2) ток I_3 и подставим полученное значение в уравнение (3):

$$I_3 = \frac{(R_H + j X_L^{(k)})}{-j X_C^{(k)}} \cdot I_2^{(k)};$$
(5)

$$I_{1}^{\bullet(k)} = I_{2}^{\bullet(k)} + \frac{R_{H} + j X_{L}^{(k)}}{-j X_{C}^{(k)}} \cdot I_{2}^{\bullet(k)} = \frac{-j X_{C}^{(k)} + R_{H} + j X_{L}^{(k)}}{-j X_{C}^{(k)}} \cdot I_{2}^{\bullet(k)}.$$
(6)

Полученное выражение для тока I_1 (6) подставим в уравнение (1), а затем выполним подстановку (4):

$$\begin{split} & \overset{\bullet}{U}_{1}^{(k)} = j \; X_{L}^{(k)} \cdot \frac{-j \; X_{C}^{(k)} + R_{H} + j \; X_{L}^{(k)} \cdot \frac{\bullet^{(k)}}{I_{2}} \cdot \frac{\bullet^{(k)}}{I_{2}} + \left(R_{H} + j \; X_{L}^{(k)}\right) \cdot \overset{\bullet^{(k)}}{I_{2}} = \\ & = \overset{\bullet^{(k)}}{I_{2}} \cdot \frac{j \; X_{L}^{(k)} \cdot \left(-j \; X_{C}^{(k)} + R_{H} + j \; X_{L}^{(k)}\right) + \left(-j \; X_{C}^{(k)}\right) \cdot \left(R_{H} + j \; X_{L}^{(k)}\right)}{-j \; X_{C}^{(k)}} = \\ & = \overset{\bullet^{(k)}}{I_{2}} \cdot \frac{U_{2}}{R_{H}} \cdot \frac{X_{L}^{(k)} \cdot X_{C}^{(k)} + j \; X_{L}^{(k)} \cdot R_{H} - \left(X_{L}^{(k)}\right)^{2} - j \; X_{C}^{(k)} \cdot R_{H} + X_{C}^{(k)} \cdot X_{L}^{(k)}}{-j \; X_{C}^{(k)}} = \\ & = \overset{\bullet^{(k)}}{U_{2}} \cdot \frac{\left(2 \; X_{C}^{(k)} - X_{L}^{(k)}\right) \cdot X_{L}^{(k)} + j \left(X_{L}^{(k)} - X_{C}^{(k)}\right) \cdot R_{H}}{-j \; X_{C}^{(k)} \cdot R_{H}} \,. \end{split}$$

Искомая формула для комплексной амплитуды напряжения $\bullet^{(k)}$ на нагрузке U_{2m} через амплитуду входного напряжения U_{1m} :

$$U_{2m} = U_{1m} \cdot \frac{-j X_C^{(k)} \cdot R_H}{\left(2 X_C^{(k)} - X_L^{(k)}\right) \cdot X_L^{(k)} + j \left(X_L^{(k)} - X_C^{(k)}\right) \cdot R_H}.$$

- 3. Используя полученную формулу, определим комплексную амплитуду напряжения на выходе цепи для нулевой ($\kappa = 0$), первой ($\kappa = 1$) и третьей ($\kappa = 3$) гармоник (для схемы № 3-4).
 - 1) Расчёт нулевой гармоники ($\kappa = 0$).

$$U_1^{(0)} = U_{1m}^{(0)} = 50 B$$
.

Так как при постоянных токах и напряжениях в электрической цепи индуктивность представляет собой " закоротку " $\left|X_L^{(0)}=0\right|$, а ёмкость представляет собой " разрыв ветви " $\left|X_C^{(0)}=\infty\right|$, то для заданной цепи напряжение на нагрузке определится:

$$\begin{split} U_{2m}^{(0)} = & U_{1m}^{(0)} \cdot \frac{-j \; X_{C}^{(0)} \cdot R_{_{H}}}{\left(2 \; X_{C}^{(0)} - X_{L}^{(0)}\right) \cdot X_{L}^{(0)} + j \left(X_{L}^{(0)} - X_{C}^{(0)}\right) \cdot R_{_{H}}} = \\ = & U_{1m}^{(0)} \cdot \lim_{\substack{X_{L}^{(0)} \to 0 \\ X_{C}^{(0)} \to \infty}} \frac{-j \; R_{_{H}}}{\left(2 - \frac{X_{L}^{(0)}}{X_{C}^{(0)}}\right) \cdot X_{L}^{(0)} + j \left(\frac{X_{L}^{(0)}}{X_{C}^{(0)}} - 1\right) \cdot R_{_{H}}} = U_{1m}^{(0)} = 50 \; B \; . \end{split}$$

2) Расчёт первой гармоники (к = 1).

Частота основной (первой) гармоники сигнала:

$$f = \frac{1}{T} = \frac{1}{3 \cdot 10^{-3}} = 333,33 \, \Gamma y.$$

Комплексное значение амплитуды входного напряжения:

$$U_{1m} = 60,793 \cdot e^{j\,90^{\circ}} B$$
.

Реактивные сопротивления индуктивностей и ёмкости при частоте первой гармоники напряжения на входе цепи:

$$\begin{split} X_L^{(1)} &= \omega \cdot L = 2\pi \ f \cdot L = \frac{2\pi}{T} \cdot L = \frac{2\pi}{3 \cdot 10^{-3}} \cdot 18 \cdot 10^{-3} = 37,70 \ Om; \\ X_C^{(1)} &= \frac{1}{\omega \cdot C} = \frac{1}{2\pi \ f \cdot C} = \frac{T}{2\pi \cdot C} = \frac{3 \cdot 10^{-3}}{2\pi \cdot 5.8 \cdot 10^{-6}} = 82,322 \ Om \ . \end{split}$$

Комплексная амплитуда напряжения на нагрузке:

$$\begin{array}{c} \bullet^{(1)}_{2m} = \bullet^{(1)}_{1m} \cdot \frac{-j X_C^{(1)} \cdot R_i}{\left(2 X_C^{(1)} - X_L^{(1)}\right) \cdot X_L^{(1)} + j \left(X_L^{(1)} - X_C^{(1)}\right) \cdot R_i} = \\ = 60,793 \, e^{j90^{\circ}} \cdot \frac{-j82,322 \cdot 69}{\left(2 \cdot 82,322 - 37,70\right) \cdot 37,70 + j \left(37,70 - 82,322\right) \cdot 69} = \\ = 60,793 \, e^{j90^{\circ}} \cdot \frac{-j5680,218}{4785,789 - j3078,918} = 60,793 \, e^{j90^{\circ}} \cdot \frac{5680,218 \, e^{-j90^{\circ}}}{5690,651 e^{-j32,76^{\circ}}} = \\ = 60,793 \, e^{j90^{\circ}} \cdot 0.9982 \, e^{-j57,24^{\circ}} = 60,682 \, e^{j32,76^{\circ}} \, B. \end{array}$$

3) Расчёт третьей гармоники ($\kappa = 3$).

Комплексное амплитудное значение входного напряжения:

$$U_{1m} = 13,510 \cdot e^{j270^{\circ}} B$$
.

Реактивные сопротивления индуктивностей и ёмкости:

$$X_L^{(3)} = 3 \cdot X_L^{(1)} = 3 \cdot 37,70 = 113,10 \ O_M;$$

 $X_C^{(3)} = \frac{1}{3} \cdot X_C^{(1)} = \frac{82,322}{3} = 27,441 \ O_M.$

Комплексная амплитуда напряжения на нагрузке:

$$U_{2m} = U_{1m} \cdot \frac{-j X_C^{(3)} \cdot R_H}{(2 X_C^{(3)} - X_L^{(3)}) \cdot X_L^{(3)} + j (X_L^{(3)} - X_C^{(3)}) \cdot R_H} =$$

$$= 13,510 e^{j270^{\circ}} \cdot \frac{-j27,441 \cdot 69}{(2 \cdot 27,441 - 113,10) \cdot 113,10 + j (113,10 - 27,441) \cdot 69} =$$

$$= 13,510 e^{j270^{\circ}} \cdot \frac{-j1893,429}{-6584,456 + j5910,471} = 13,510 e^{j270^{\circ}} \cdot \frac{1893,429 e^{-j90^{\circ}}}{8848,092 e^{j138,09^{\circ}}} =$$

$$= 13,510 \cdot e^{j270^{\circ}} \cdot 0,2140 e^{-j228,09^{\circ}} = 2,891 e^{j41,91^{\circ}} B.$$

4) Расчёт пятой гармоники ($\kappa = 5$).

Комплексное амплитудное значение входного напряжения:

$$U_{1m} = 2,432 \cdot e^{j90^{\circ}} B$$
.

Реактивные сопротивления индуктивностей и ёмкости:

$$X_L^{(5)} = 5 \cdot X_L^{(1)} = 5 \cdot 37,70 = 188,5 \ Om;$$

 $X_C^{(5)} = \frac{1}{5} \cdot X_C^{(1)} = \frac{82,322}{5} = 16,464 \ Om.$

Комплексная амплитуда напряжения на нагрузке:

$$U_{2m} = U_{1m} \cdot \frac{-j X_C^{(5)} \cdot R_H}{(2 X_C^{(5)} - X_L^{(5)}) \cdot X_L^{(5)} + j (X_L^{(5)} - X_C^{(5)}) \cdot R_H} =$$

$$= 2,432 e^{j90^{\circ}} \cdot \frac{-j16,464 \cdot 69}{(2 \cdot 16,464 - 188,5) \cdot 188,5 + j (188,5 - 16,464) \cdot 69} =$$

$$= 2,432 e^{j90^{\circ}} \cdot \frac{-j1136,016}{-29325,322 + j11870,484} = 2,432 e^{j90^{\circ}} \cdot \frac{1136,016 e^{-j90^{\circ}}}{31636,733 e^{j157,96^{\circ}}} =$$

$$= 2,432 e^{j90^{\circ}} \cdot 0,03591 e^{-j247,96^{\circ}} = 0,0873 e^{-j157,96^{\circ}} B.$$

4. Закон изменения во времени напряжения на нагрузке в виде ряда Фурье (мгновенное значение напряжения на выходе цепи):

$$u_2(t) = U_2^{(0)} + u_2^{(1)}(t) + u_2^{(3)}(t) + u_2^{(5)}(t) = 50 + 60,695 \ Sin(\omega t + 32,76^{\circ}) + 2,892 \ Sin(3\omega t + 41,91^{\circ}) + 0,0873 \ Sin(5\omega t - 157,96^{\circ})B.$$

5. Линейчатые спектры амплитуд входного напряжения $u_1(t)$ и выходного напряжения $u_2(t)$ — рисунок 3.18.

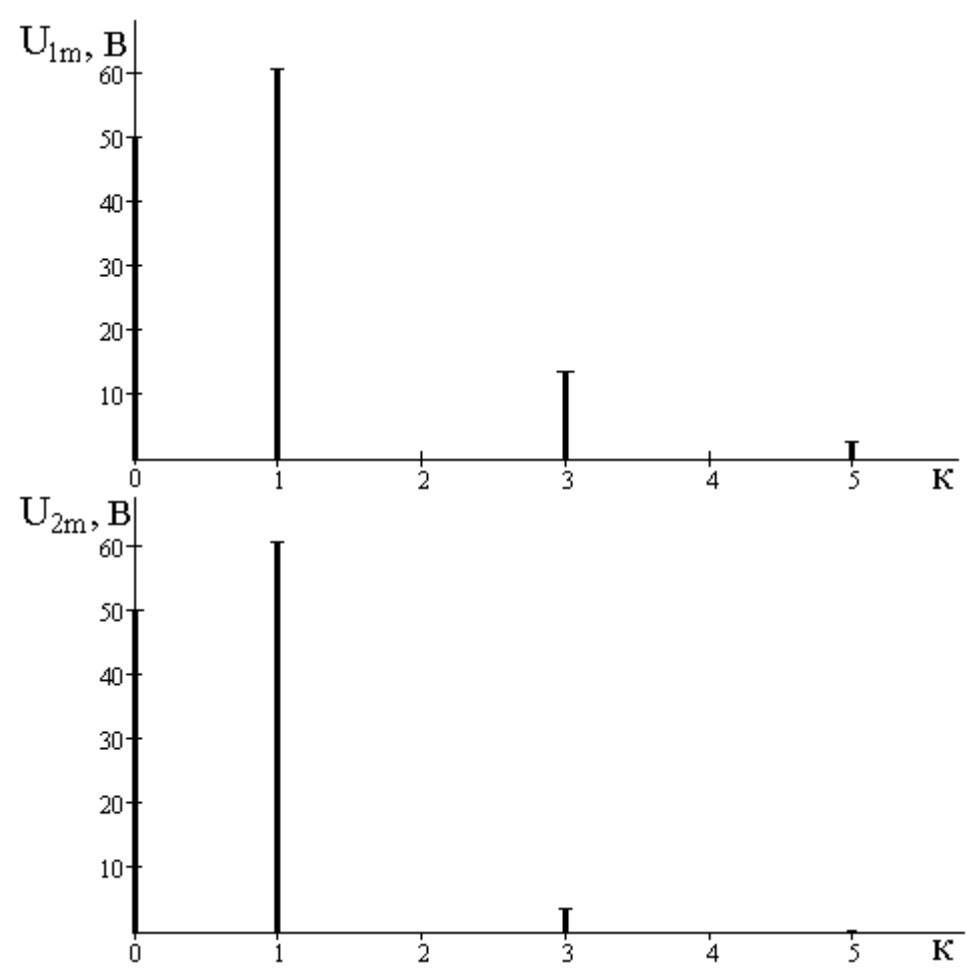


Рисунок 3.18 – Линейчатые спектры амплитуд входного (u_1) и выходного (u_2) напряжений

8. Закон изменения напряжения на нагрузке в функции времени приведён на рисунке 3.19.

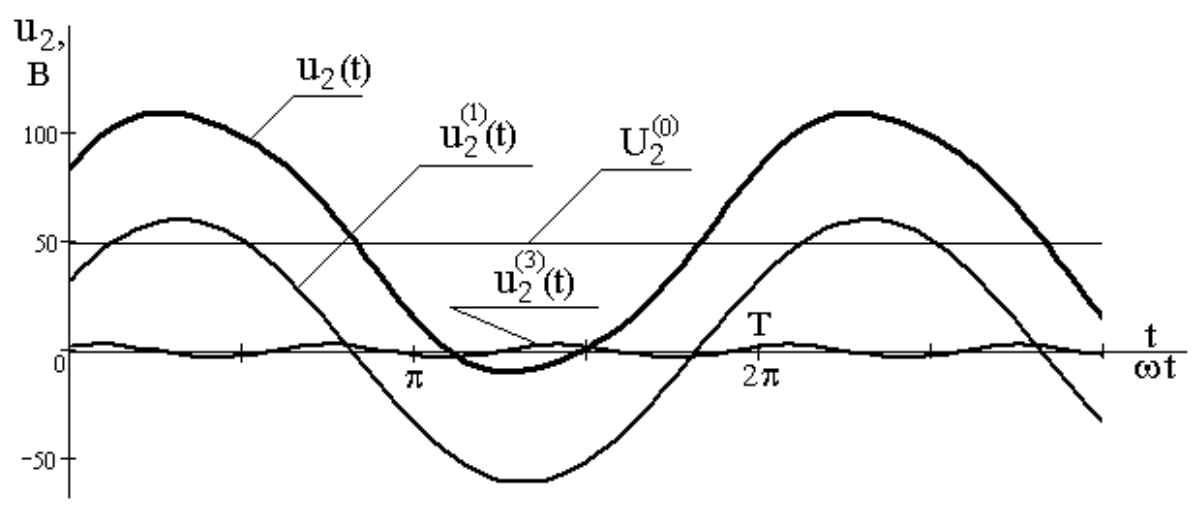


Рисунок 3.19 – График изменения напряжения на нагрузке

БИБЛИОГРАФИЧЕСКИЙ СПИСОК

- 1. Зевеке Г.В. Основы теории цепей: учебник для вузов / Г.В. Зевеке, П.А. Ионкин, А.В. Нетушил, С.В. Страхов. 5-е изд., перераб. М.: Энергоатомиздат, 1989. 528 с.
- 2. Бессонов Л.А. Теоретические основы электротехники. Электрические цепи: учебник для вузов / Л.А. Бессонов. 10-е изд. М.: Гардарики, 2001.-638 с.
- 3. Попов В.П. Основы теории цепей: учебник для вузов / В.П. Попов. 5-е изд., стер. М.: Высшая школа, 2005. 575 с.
- 4. Шебес М.Р. Задачник по теории линейных электрических цепей: учебное пособие для вузов / М.Р. Шебес, М.В. Каблукова. 4-е изд., перераб. и доп. М.: Высшая школа, 1990, 544 с.
- 5. Бессонов Л.А. Сборник задач по теоретическим основам электротехники. / Л.А. Бессонов, И.Г. Демидова, М.Е. Заруди и др. М.: Высшая школа, 1988, 543с.